

**70628.3—  
2023  
( 4427-3:2019)**

,

( )

3

**(ISO 4427-3:2019, MOD)**

1 « »)  
( « , »)  
4

2 241 « ,

3                  26                  2023 .        52-

4  
4427-3:2019 «  
      ( ).            3.            » [ISO 4427-3:2019 «Plastics piping systems for water supply, and for

4.2 4.3).

5

29	2015	.	162-	«				26
)					(	»,	1	».
				«		«		».
	—							«
	(	)						«
								».

([www.rst.gov.ru](http://www.rst.gov.ru))

1	.....	1	
2	.....	2	
3	.....	3	
4	.....	4	
5	.....	4	
6	.....	5	
7	.....	6	
8	.....	12	
9	.....	16	
10	.....	17	
11	.....	17	
12	.....	17	
13	.....	19	
14	.....	19	
15	.....	22	
16	.....	22	
17	.....	23	
(	)	.....	24
(	)	.....	26
(	)	.....	32
(	)	,	
(	)	.....	34
(	)	,	38
(	)	.....	39
		.....	41

70628  
( ).

, , ,  
40 80 ,

[7].

100-RC.

[2] [3]  
17885 7-1, 228-1, 1133-1, 9624, 13951, 13953, 13954,  
681-1 , , ,  
) , 4427-3:2019 ( D  
58121.3.

,

( )

3

Plastics piping systems for water supply, and for drainage and sewerage under pressure.  
Polyethylene (PE). Part 3. Fittings

— 2023—12—01

1

100

( )

70628

) PFA 25 ;\*  
) 0 °C 40 °C ( 20 °C).

70628.1—2023 ( - ).

) ;  
1)  
2) ( ),

\* 1 = 0,1 = 10<sup>5</sup>; 1 = 1 / 2.

) 3) ( . . );  
 ) ;  
 1)  
 2)  
) ( . . ).

**2**

12.3.030—83

2226			
2991		500	
5959			200
6211			
6357			
7229	,		
10198		200	20000
11645			
12423 (ISO 291:2008)			
( )			
13841			
15150—69	,		
15846	,		
, ,			
17811			
22235		1520	
30090			
ISO 1167-1	,		1.
ISO 1167-3	,		3.
ISO 1167-4	,		4.
ISO 11922-1—2018			
1.			
15.301			

( ). 56756 ( 11357-6:2008) ( ).  
6. ( ).  
58121.1—2018 ( 4437-2:2014) ( ). 1.  
58121.2—2018 ( 4437-2:2014) ( ). 2.

58121.3—2018	(	4437-3:2014)
	.	( ). 3.
70628.1—2023	(	4427-1:2019)
	.	( ). 1.
70628.2—2023	(	4427-2:2019)
	.	( ). 2.
70628.5—2023	(	4427-5:2019)
	.	( ). 5.

12176-1

1.

12176-4

4.

13950

13957

( ).

399.1325800

—

»

«

1

( ).

3

70628.1,

3.1 (electrofusion socket fitting):

(electrofusion saddle fitting):

3.2.1 - (tapping tee):

1

(

3.2.2 (branch saddle):

)<sub>s</sub>

(

3.3 (spigot end fitting):

1

3.4 (socket fusion fitting):

(fabricated fitting):

3.6 (mechanical fitting):

$\frac{1}{2}$  ( ).

5.1 ( ) ( ), ( ), . ( ) 70628.1.

MRS

5.2

5.2.1

70628.2,

( ,

5.2.2

1

5.2.3

/

5.2.4

6

6.1

6.2

6.3

70628.2.

6.4

25

1

(23 ± 5) °C.

( 10 %)

(+10 %) + 0,1  
2 0,1

6 .5

6 .6

70628.1—2023 (

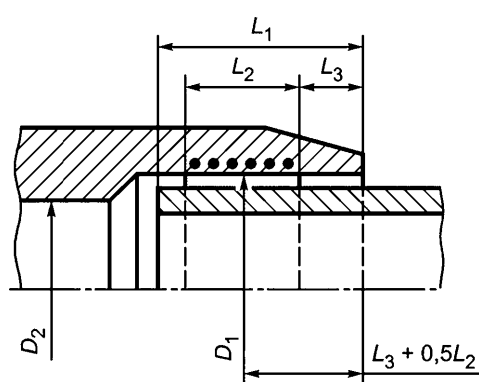
6).

**7****7.1**

3126  
0,1                          24  
4                              (23 ± 2) °C.

**7.2****7.2.1**

1                              7.1,  
1.



$L_1^1 + 0,5 l_2; D_2 —$ ,  $D_2 \leq (d_n - 2e_{min})$ ;  
 $L_1 —$  );  $L_2 —$  ( ),  $L_3 —$  ;  $L_3 \leq 5$

1 —

1 —

<			$l \sim 2 \text{ min}$
	$\sim 1 \text{ min}$	max	
20	25	41	10
25	25	41	10
32	25	44	10
40	25	49	10
50	28	55	10
63	31	63	11
75	35	70	12
90	40	79	13
110	53	82	15
125	58	87	16

1

$d_n$			1~2 min
	~1 min	1~1 max	
140	62	92	18
160	68	98	20
180	74	105	21
200	80	112	23
225	88	120	26
250	95	129	33
280	104	139	35
315	115	150	39
355	127	164	42
400	140	179	47
450	155	195	51
500	170	212	56
560	188	235	61
630	209	255	67
710	220	280	74
800	230	300	82

( . . 1

1)

 $d_n$ .

1

70628.5.

**7.2.2**

)

 $e_{min}$  $2L_1/3$ 

MRS.

MRS

 $CRS_{20}$  $e_{mjn}$ 

2.

2 —

 $e_{mjn}$ 

			$e_{min}$
80	100	100-RC	> 0,80 $e_{min}$

—

2

80.

100

100-RC

b)  
)  
7.2.3

8.5.

0,015 / .  
7.2.4

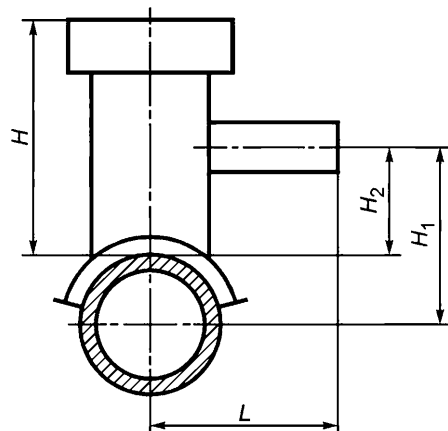
7.2.5

7.4.

/

7.3

7.4,  
7.2.  
2,  
/7<sub>1</sub>      /7<sub>2</sub>  
—  
2  
7.4,



; L<sup>2</sup> —  
;

2 —

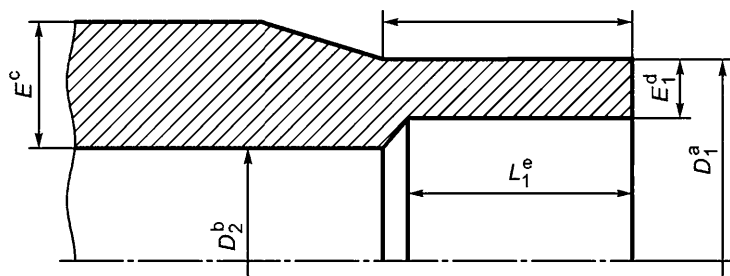
7.4

7.4.1

3

3.

7.1,



1 ) ,  $L_2$  ( .  
 , ( ).

d , (  $L_1$  ( .  
 , 70628.2—2023 ( 2).  
 4 .

1 f : ( ), ;  
 ,  
 D<sub>1</sub> — ; D<sub>2</sub> — ; 1 — ; 1 —  
 ; L<sub>1</sub> — ; 1<sub>—2</sub> —  
 3 —

d <sub>n</sub>	1)		2)	3)			-	L <sub>1</sub>	-	-	4) 1 <sub>-2</sub>		-	L <sub>2</sub>	-	-	L <sub>1</sub>	5) 1 <sub>-2</sub>	
				-	L <sub>1</sub>	4) 1 <sub>-2</sub>					1 <sub>-2</sub>	5)						5)	6)
	min	max	min	max	min	min	min	max	min	5)	6)	min	max	min	5)	6)	5)	6)	
20	20,0	20,3	13	0,3	25	41	11	—	—	—	—	—	—	—	—	—	—	—	
25	25,0	25,3	18	0,4	25	41	12,5	—	—	—	—	—	—	—	—	—	—	—	
32	32,0	32,3	25	0,5	25	44	14,6	—	—	—	—	—	—	—	—	—	—	—	
40	40,0	40,4	31	0,6	25	49	17	—	—	—	—	—	—	—	—	—	—	—	
50	50,0	50,4	39	0,8	25	55	20	—	—	—	—	—	—	—	—	—	—	—	
63	63,0	63,4	49	0,9	25	63	24	1,5	5	16	5	19	6	6	—	—	—	—	
75	75,0	75,5	59	1,2	25	70	25	1,6	6	19	6	28	8	8	—	—	—	—	
90	90,0	90,6	71	1,4	28	79	28	1,8	6	22	6	32	8	8	—	—	—	—	
110	110,0	110,7	87	1,7	32	82	32	2,2	8	28	8	35	8	8	—	—	—	—	
125	125,0	125,8	99	1,9	35	87	35	2,5	8	32	8	38	8	8	—	—	—	—	
140	140,0	140,9	111	2,1	38	92	—	2,8	8	35	8	40	8	8	—	—	—	—	
160	160,0	161,0	127	2,4	42	98	—	3,2	8	40	8	45	8	8	—	—	—	—	
180	180,0	181,1	143	2,7	46	105	—	3,6	8	45	8	50	8	8	—	—	—	—	
200	200,0	201,2	159	3,0	50	112	—	4,0	8	50	8	55	8	8	—	—	—	—	
225	225,0	226,4	179	3,4	55	120	—	4,5	10	55	10	60	10	10	—	—	—	—	
250	250,0	251,5	199	3,8	60	129	—	5,0	10	60	10	65	10	10	—	—	—	—	
280	280,0	281,7	223	4,2	75	139	—	9,8	10	70	10	75	10	10	—	—	—	—	
315	315,0	316,9	251	4,8	75	150	—	11,1	10	80	10	85	10	10	—	—	—	—	
355	355,0	357,2	283	5,4	75	164	—	12,5	10	90	10	95	10	12	—	—	—	—	
400	400,0	402,4	319	6,0	75	179	—	14,0	10	95	10	100	10	12	—	—	—	—	

$d_n$	<sup>1)</sup> Di		<sup>2)</sup> $^2$	<sup>3)</sup>			$L_2$	<sup>5)</sup> $L_2$			
				-	$l_{-1}$	-	$l_{-1}$	-	$l_{-1}$	-	
	min	max	min	max	min	min	max	min	5)	6)	
450	450,0	452,7	359	6,8	100	195	—	15,6	15	60	15
500	500,0	503,0	399	7,5	100	212	—	17,5	20	60	15
560	560,0	563,4	447	8,4	100	235	—	19,6	20	60	15
630	630,0	633,8	503	9,5	100	255	—	22,1	20	60	20
710	710,0	714,9	567	10,6	125	280	—	24,8	20	60	20
800	800,0	805,0	639	12,0	125	300	—	28,0	20	60	20
900	900,0	908,1	719	—	—	—	—	31,5	20	60	20
1000	1000,0	1009,0	801	—	—	—	—	35,0	20	60	20
1200	1200	1210,8	1005	—	—	—	—	42,0	20	60	20

<sup>1)</sup>

ISO 11922-1.

<sup>2)</sup><sup>2</sup>

SDR 11

<sup>3)</sup>

,

<sup>4)</sup> $Z_{-2}($ 

) : .

<sup>5)</sup> $d_n < 90, L_2 = 0,6 d_n + 25$  ;<sup>6)</sup> $d_n > 110 \quad d_n < 710, L_2 = d_n/3 + 45$  .

**7.4.2**

4

1

,  
0,01  $d_\theta + 1$

$70628.2 - 2023$  (

2).

**7.4.3**

**7.4.4**

/

**7.5**

**7.6**

**7.7**

**7.7.1**

/

$70628.2.$

$L_2$

$L_1$

(

3).

**7.7.2**

7.4.

**7.7.3**

7.2.

**7.7.4**

6211      6357.

**7.8**

/

**8**

**8.1**

$70628.2$  /

/

$70628.5.$

**8.2**

(23 ± 2) °C      12423

4

3 ,

**8.3**

—  
—  
—  
— D —

4

4,

/

4 —

					ISO 1167-1, ISO 1167-4
(100 20 °C)	4)			ISO 1167-1	ISO 1167-1, ISO 1167-4
				ISO 1167-1	
				3	
		1)			
		2)			
		3)	100	12,0	
			100-RC		
				100	
				20 °C	
(165 80 °C)	4)			ISO 1167-1	ISO 1167-1, ISO 1167-4
				ISO 1167-1	
				3	
		1)			
		2)			
		3)	100	5,4	
			100-RC		
				165	
				80 °C	

-  (1000 80 °C)	-			ISO 1167-1	ISO 1167-1, ISO 1167-4
				-	ISO 1167-1
			1) 1)	1	
			2) 2)		
-  (1000 80 °C)	-	- 3)	100 100-RC	5,0	ISO 1167-1, ISO 1167-4
				1000	
				80 °C	
5)  -	<G <sub>p</sub> > 50,0			,	70628.1— 2023
				6)	
				80 °C	
				300	
				20 /	
				5	
-  ( )	<L <sub>2</sub> /3 7)			23 °C	58121.1— 2018 ( - ) , 58121.3— 2018 ( - )
		1) <sup>8)</sup>		- 58121.1—2018 ( ) 58121.3—2018 ( ))	
-  ( ) <sup>9)</sup>	I <sub>d</sub> < 50 % A <sub>d</sub> < 25 %	-		23 °C	58121.3— 2018 ( - )
		1) <sup>8)</sup>		58121.3—2018 ( ))	
( ) <sup>10)</sup>	:			23 °C	58121.1— 2018 ( - )
	;	1) <sup>8)</sup>		58121.1	

4

( ):	,		0 °C	
			2	
			2,5	
		1)	-	
			58121.3—2018 ( )	
1)	,			
2>	$d_n > 450$	« , ».	$d_n > 450$	).
3)	,			SDR
4)	,			165
5)	,			100-RC.
6)				
7>				
8>				
15				
9)		$/ > 450$		
10>		[4].		
		$/ 90$		
			( )	

**8.4**

165

,  
 / ,  
 5.— 80 °C

5.

	100      100-RC
,	,
5,4	165
5,3	256
5,2	399
5,1	629
5,0	1000

8.5

6

### ) 7.2.2.

6 —

-	,	2	ISO 1167-1	58121.3—2018 ( )
MRS	2 CRS <sub>20 100</sub>	-	12	
,	,			
		100 100-RC, SDR 11	40	
			5 /	
			20 °C	
-	-		23 °C	58121.3—2018 ( )
-	-	25 %		D)

$$-1 = 0,1 = 10^5 ; 1 = 1 / 2.$$

9

9.1

(23 ± 2) °C 12423

3

7

9.2

7.

/

7 —

( ) -	> 20	1A	200 °C <sup>2</sup> ) 3
			56756

7

( )	± 20 %		5	11645
			190 °C	
			10	
		1)		11645
			210 °C      220 °C	
			200 °C.	

**10**1), [6] —  
[7].[5] ( —  
—).

[8] [9].

[6] [7],

**11**

70628

70628.5.

**12****12.1**

12.2.

**12.2**

8.

(

PN\*.

8 —

		70628.3
	<sup>1)</sup>	<sup>12.4</sup> ( / )
		<sup>2Λ</sup>
		3)
( )	$d_n$	, 110
		100, 100-RC <sup>1)</sup>
		,
SDR	<sup>1)</sup>	, SDR 11
SDR	( )	, SDR 11 — SDR 26 <sup>3)</sup>
<sup>1)</sup>		,
<sup>2)</sup>	-	,
<sup>3)</sup>	( , )	; ( );

12.3

) , ( ),  
12176-4

12176-4.

12.4

100 160 110 SDR 11 70628.3-2023.

12.5

13950,

13950.

- [10] 2 -

PN

13

14

14.1

14.2

```

1000 — ;  

500 — 110 225 ;  

200 — 315 500 ;  

100 — 500 .  

:  

:  

:  

:  

);  

( ,  

; )  

( / , , );  

— ,  

( .);  

;  

;  

( ...  

:  

( ,  

; )  

( ,  

; )  

( ,  

; )

```

14. 3

$$D \quad 2 - 75 \quad 225 ; \quad 3 - 250 \quad 630 ; \quad 4 - 710 \quad 1600 ;$$

$$5 - 1800 .$$

SDR.

14. 4

9.

9 —

	6.1	5
	6.3	5
( )	7229	5
	3126	5
( )	56756	1 1) 2)
20 °C)	1167-1, 1167-2	3 2)-3)4)5) -
80 °C) <sup>6</sup> ( )	1167-1, 1167-2	1 2) 2)3)4)5)
80 °C)	1167-1, 1167-2	1 2) 2)3)4)5) -
7)	70628.5— 2023( )	1
( )	58121.1—2018 ( ) 58121.3—2018 ( )	1 -
( )	58121.3— 2018( )	1
( ) <sup>5</sup> )	58121.1— 2018( )	1 -
( ): 8)	13957	1 -
( ) <sup>8</sup> )	58121.3— 2018( )	3 2) -

9

( ) <sup>8)</sup>	58121.3— 2018 ( )	1      2) 11645
		1

,

<sup>2></sup>      3, 4    5  
        4    5

<sup>4)</sup>       $d_n > 450$       «      ».

<sup>5)</sup>       $d_n > 450$       ).  
              2    3,       $d_n < 450$

<sup>7></sup>      100-RC.

<sup>8)</sup>      4    5.

14. 5  
10.

10—

	6.1	
	6.3	
( ), ( )	7229	10 %
	3126	

14. 6

11.

11—

			/
(1000 80 °C) <sup>1),2)</sup>	-	1167-1, 1167-2	<sup>3)</sup> /
(165 80 °C)	-	1167-1, 1167-2	<sup>1)</sup> /
( )	-	56756	/
( )		58121.1—2018 ( ) 58121.3—2018 ( )	/
( )		58121.1—2018 ( )	/
( ) - <sup>4)</sup>		13957	/
( ) <sup>4)</sup>	-	58121.3—2018 ( )	/
( ) <sup>4)</sup>	-	58121.1—2018 ( )	/
<sup>1)</sup> $d_n > 450$		« ».	
<sup>2)</sup> $Bd_n > 450$			( , - ).
<sup>3)</sup>			
<sup>4)</sup>		4 5.	

**15**

15.1

12.3.030.

15.2

,

15.3

,

**16**

16.1

22235 —

15846.

16.2

15150—69 ( )

5 (

1  
(

10)

5 (

15150—69  
)

8 (

),

,

16.3

,

**17**

17.1

17.2

—

( )

.1 .2.

( . ).

.1 —

16 63

DN/OD	$d_n$					$D_3$	$\hat{D}_3$					
								L-2,5	L	L-3,5	L-1	
		$\wedge 1$ min	$\wedge 1$ max	min	$D_2$ max	max	$\wedge$ min	1~2 min	1~2 max	min	1~3 max	
16	16	15,2	15,5	15,1	15,4	0,4	9	13,3	10,8	13,3	9,8	12,3
20	20	19,2	19,5	19,0	19,3	0,4	13	14,5	12,0	14,5	11,0	13,5
25	25	24,1	24,5	23,9	24,3	0,4	18	16,0	13,5	16,0	12,5	15,0
32	32	31,1	31,5	30,9	31,2	0,5	25	18,1	15,6	18,1	14,6	17,1
40	40	39,1	39,4	38,8	39,2	0,5	31	20,5	18,0	20,5	17,0	19,5
50	50	48,9	49,4	48,7	49,2	0,6	39	23,5	21,0	23,5	20,0	22,5
63	63	62,0 <sup>1)</sup>	62,4 <sup>1)</sup>	61,6	62,1	0,6	49	27,4	24,9	27,4	23,9	26,4

$$L_2 = L - 2,5$$

$$L_2 = L - 1$$

$$L_3 = L - 3,5$$

1)  
62,40,1  
0,1 61,9

62,5

.2 —

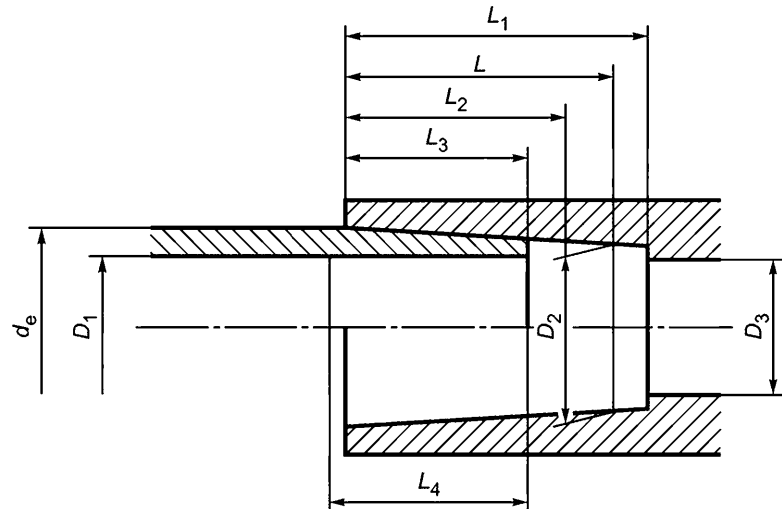
75 125

DN/OD	$d_{etn}$		$d_n$					$\hat{D}_3$	$\hat{\hat{D}}_3$					
										L-4	L	L-5	L-1	
	$d_{etn}$ min	$d_{etn}$ max		$\wedge 1$ min	$\wedge 2$ min	$\wedge 2$ max	max			1~2 min	1~2 max	1~3 min	1~3 max	
75	75,0	75,5	75	74,3	74,8	73,0	73,5	0,7	59	30	26	30	25	29
90	90,0	90,6	90	89,3	89,9	87,9	88,5	1,0	71	33	29	33	28	32
110	110,0	110,6	110	109,4	110,0	107,7	108,3	1,0	87	37	33	37	32	36
125	125,0	125,6	125	124,4	125,0	122,6	123,2	1,0	99	40	36	40	35	39

$$L_2 = L - 4$$

$$L_2 = L - 1$$

$$L_3 = L - 5$$



— ;  $D_3$  — ;  $d_e$  — ;  $L_1$  — ;  $L$  — ;  $L_2$  — ;  $L_3$  — ;  $L_4$  — ; .1 —

( )

.1

.1 .2.

DN 630  
20 °C 80 °C,

.1,

,

70628.2,

12176-1.

( ), ),

PN

PN

.5.

PN.

/

.1.

SDR,

SDR.

PN

.1 —

			1)	
			ISO 1167-1	
			3	
		2)		
		3)		
			20 °C	
			100	
		4); 100 100-RC	12,0 • f	

1

-	-	-	-	1)
80 °C	-	-	-	ISO 1167-1
		-	-	1
		2)	-	
		3)	-	3)
		-	-	80 °C
		-	-	1000 5)
		4); 100-RC	100	5,0 • f
5)	-	-	-	23 °C
	-	-	-	58121.1—2018
	-	-	2	( )
	-	f—	-	
1)				
> 500				
2)				
,			,	
3)	$d_n > 450$	«	».	
4)				( ),
5)				

.2

.2.

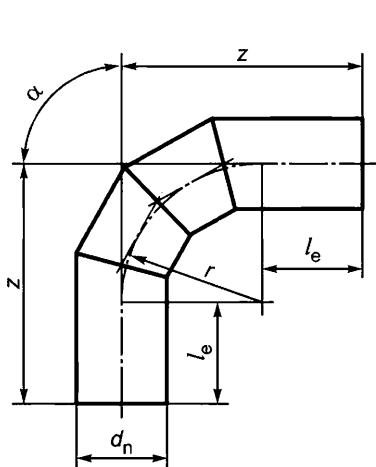
.2 —

<sup>d</sup> n	1		Z	
90	150			
110	150			
125	150			
140	150			
160	150			
180	150			
200	150			
225	150			
250	250			
280	250			
315	300			
355	300			$\pm 2^\circ$ .
400	300			
450	300			
500	350			$\pm 5^\circ$
560	350			
630	350			
710	350			
800	350			
900	400			
1000	400			
1200	400			
1400	550			
1600	550			

,  
 $1,5 \text{ } /,$   
 $2d,$   
 $2,5 \text{ } /,$   
 $3d$

.1 .2

/

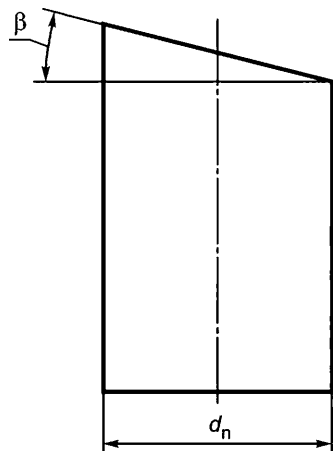


The diagram illustrates a stepped wedge component. It features a central vertical axis with horizontal dashed lines extending from it. A diagonal line labeled  $z$  extends from the top-left corner to the right. The angle between the horizontal dashed line and the diagonal  $z$  is labeled  $\alpha$ . The distance from the bottom horizontal dashed line to the center of the wedge is labeled  $Z$ . The width of the wedge at its base is labeled  $d_n$ . The radius of the circular arc forming the top edge of the wedge is labeled  $r$ . The total length of the wedge along the  $z$ -axis is labeled  $l_e$ . The length of the wedge along the  $z$ -axis, measured from the center of the wedge, is labeled  $l'_e$ .

$d_n, l$   
 $, \quad .2; d_n -$   
 $; \quad ( \quad ; \quad ) : \quad ; \quad ( \quad ; \quad ) ;$   
 $z - \quad ; \quad -$   
 $.1 -$   
 $, \quad , \text{PN}$

$$PN = f_B - PN_{\text{pipe}}. \quad ( .1)$$

$f_B$  —  
 $PN^A$  —  
 $f_B$



— ( 15°);  $d_n$  — .2 —

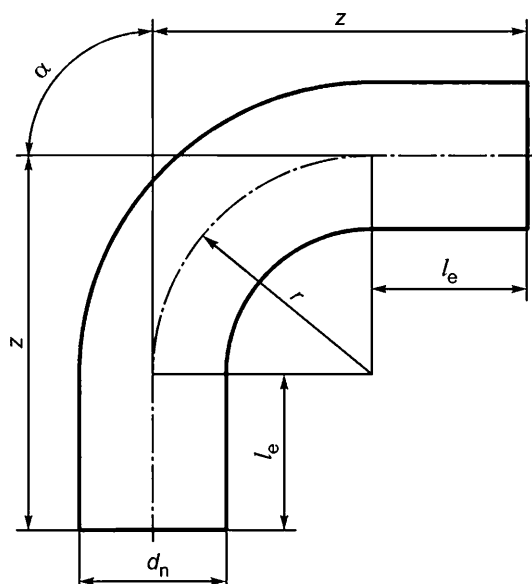
	$f_B$
$<7,5^\circ$	1,0
$7,5^\circ < \angle < 15^\circ$	0,8

— PN  $f_B$   
 $7,5^\circ$  PN  
 , SDR ( , ), SDR  
 100 100-RC 100-RC SDR 17 PN 10  
 100 SDR 13,6.

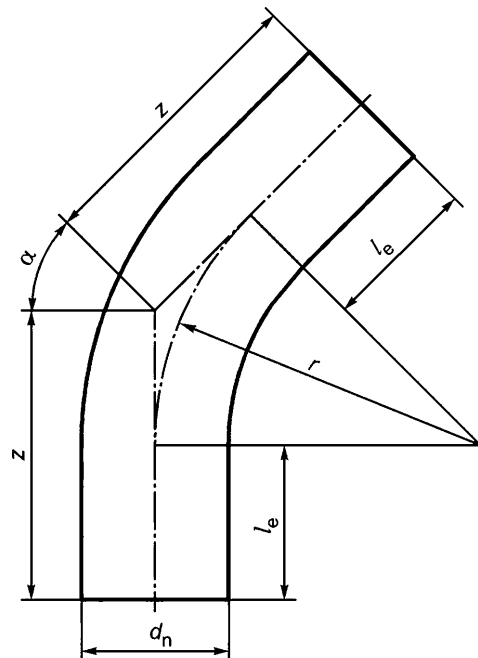
.4

/

70628.2.



) 90°

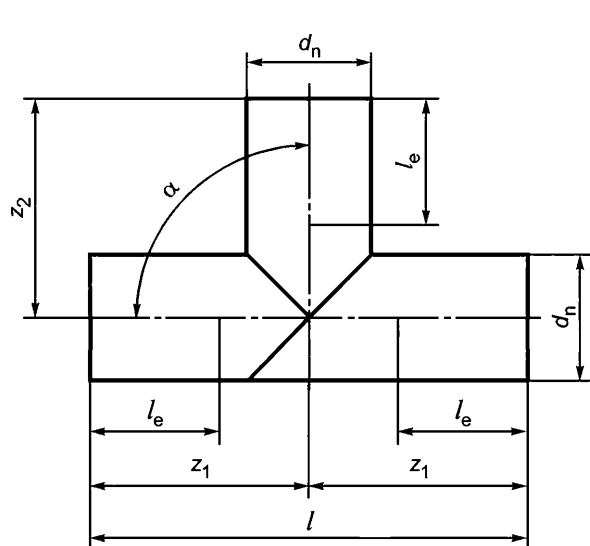


b) 45°

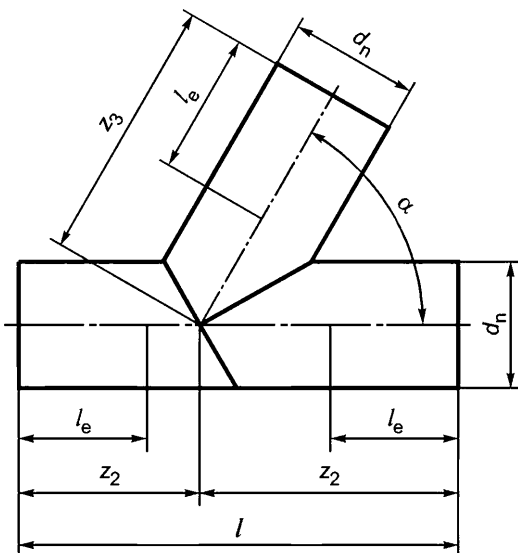
/, / — , , , ; a —  
 — , ; z — , , ,  
 — , ; a — , , ,

.5

.4



a)  $90^\circ$



b)  $60^\circ$

$$\frac{d_n}{n} / \frac{1}{n} - \dots , \dots ,$$

4-

$$(\quad .2; \quad d_n - \quad ) : \quad (\quad ; \quad (\pm 2^\circ)$$

. PN

$$PN = f_- PN$$

( .2)

$f_T$  —  
 $PNpi_e$  —

1

—  
PN

SDR (

100	100-RC	SDR 17	PN 10
100	SDR 9	100-RC.	

f<sub>T</sub>  
PN

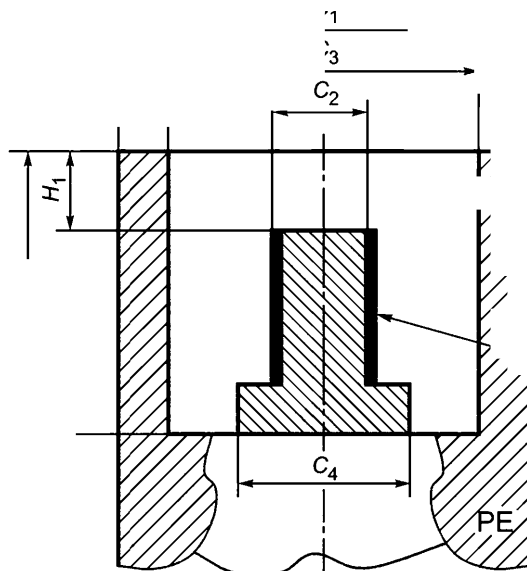
SDR

05

1

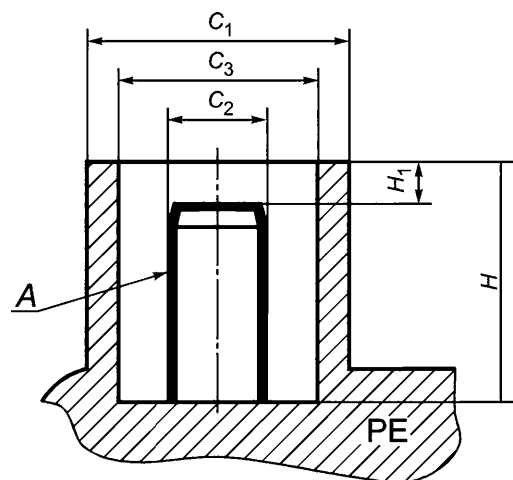
( )

.1  
 $< 48$  ( .1 .2 ).



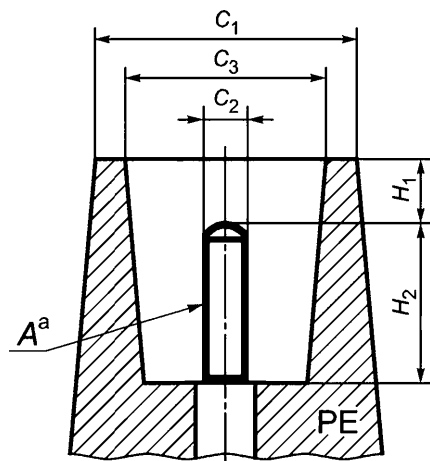
— ; —  
 $3 < 6,0$ ; —  
 $4 = (3,2 \pm 0,5)$ ; —  
 $, 3 = (9,5 \pm 1,0)$ ; —  
 $, 4 > 12,0$ ; —  
 $, 1 > 11,8$ ; —  
 $, 2 = (4,00 \pm 0,1)$   
 $, 7 < 2 < -$

.1 —



— ;  $C_1 = (13,00 \pm 0,5)$ ;  $C_2 = (4,5 \pm 0,5)$   
 $C_3 = (4,70 \pm 0,1)$ ;  $H = (10,0 \sim 10,5)$   
 $> 15,5$ ; — ,  
 $A$  — .2 —

250 ( ).



— ;  $C_1 > (2,0 \pm 0,1)$ ;  $C_2 > (2,0 \pm 0,1)$ ;  $C_3 > (3 \pm 2,0)$ ;  $H_1 < 7,0$   
 $H_2 < 7,0$ ; — IP 2 ( [11] ); — ,  
 $A^a$  — . —

( )

.1

	/	
1	) 20 °C -	
5.1	— 40 , ISO/TC 138/ SC 2 - 4427	40 80, ,
5.2.2	, -	-
5.2.3	, 681-1	681-1 ,
6.1	, ,	-
6.2	- /	-
6.3	4427-2:2019. ,	- ,
6.4	- 23 °C	-
7.2.2	- MRS, e <sub>min</sub> 2	CRS <sub>20 100</sub> ,
		CRS <sub>20100</sub>

1

	/	
2	2	80, - - 100-RC
7.2.2	—	- - -
3, d	1 3	- 399.1325800
3	3	1200 900, 1000 1200 $d_n$
7.4.2	1 4	- 399.1325800
7.7.1	17885	17885 - -
7.7.4	7-1	7-1 6211, . . -
	28-1	28-1 6357, . . -
7.8	9624	9624 - -
8.2	,	(23 ± 2) °C - - -

	/	
8.3	17885	17885
	8.3	
4	(1000                    80 °C)	
	4	40 80, 100-RC
	—	
		< G <sub>p</sub> > 50,0
4, 5)	—	, 100
4, 6)	—	
5	5	40 80, 100-RC
9.1	,	
	(23 ± 2) °C	
9.2	17885	17885

1

	/	
10	, 4433-2. — ISO/TR 10358 ( [6]). ,	, 4433-1 4433 ,
8	. 8	100-RC
12.3	—	-
12.4	—	-
13	,	,
.1	.1	40 80, ,
.1	80 °C 1000	- -
.	.	3
.	—	-
.4	—	-

( )

.1

ISO 1167-1—2013	IDT	ISO 1167-1:2006 « , » . 1.
ISO 1167-3—2013	IDT	ISO 1167-3:2007 « , » . 3.
ISO 1167-4—2013	IDT	ISO 1167-4:2007 « , » . 4.
56756—2015 ( 11357-6:2008)	MOD	ISO 11357-6:2008 « ( ). 6. ( OIT) ( OIT) » .
70628.1—2023	MOD	ISO 4427-1:2019 « , » . ( ). 1.
70628.2—2023	MOD	ISO 4427-2:2019 « , » . ( ). 2.
70628.5—2023	MOD	ISO 4427-5:2019 « , » . ( ). 5.
3126—2007	IDT	ISO 3126:2005 « » .
12176-1—2021	IDT	ISO 12176-1:2017 « » . 1.
13957—2022	IDT	ISO 13957:1997 « ( ). » .
<hr/>		
— : ; - IDT — ; - MOD —		

( )

.1

	ISO 4427-3:2019
1	1
2	2
3	3
4	4
5	5
6	6
7	7
8	8
9	9
10 , -	10 , -
11	11
12	12
13	13
14 *	—
15 *	—
16 *	—
17 *	—
—	D
,	—
,	—

	ISO 4427-3:2019
	—
* * * 58121.3—2018.	1.5.

- [1] ( ) ( ),
- [2] Schulte U., Hessel J. Restlebensdauer von Kunststoffrohren nach einer Betriebszeit von 41 Jahren, 3R international (45), Heft 9/2006
- [3] Hoang E.M., Lowe D., (Exova UK) Lifetime prediction of a blue PE100 water pipe. Polym. Degrad. Stabil. 2008 August, 93 (8) pp. 1496—7503
- ] 21751
- (ISO 21751) (Plastics pipes and fittings — Decohesion test of electrofusion assemblies — Strip-bend test)
- [5] CH 550-82
- [6] ISO/TR 10358
- (ISO/TR 10358) (Plastics pipes and fittings — Combined chemical-resistance classification table)
- [7] TR-19/2007 Chemical Resistance of Thermoplastics Piping Materials
- [ ] 4433-1
  - 1.

(ISO 4433-1) (Thermoplastics pipes — Resistance to liquid chemicals — Classification — Part 1: Immersion test method)

[9] CO 4433-2
 
  - 2.

(ISO 4433-2) (Thermoplastics pipes— Resistance to liquid chemicals — Classification — Part 2: Polyolefin pipes)

[70] 12176-5
 
  - 5.

(ISO 12176-5) (Plastics pipes and fittings — Equipment for fusion jointing polyethylene systems — Part 5: Two dimensional data coding of components and data exchange format for PE piping systems)

[77] 60529:1989 ( IP)
   
(IEC 60529:1989) [Degrees of protection provided by enclosures (IP Code)]

**70628.3—2023**

678.5-462:620.162.4:006.354	23.040.20
	23.040.45
	83.140.30

27.01.2023.                    30.01.2023.                    60 84<sup>1</sup>/<sub>8</sub>.  
5,12. .-. . . 4,61.

« »

117418 , . . 31, . 2.  
www.gostinfo.ru info@gostinfo.ru